

## بررسی تغییرات پوشش اراضی پارک ملی بمو

فاطمه هوشمند فیروزآبادی<sup>\*</sup>، علی اکبر کریمیان<sup>۲</sup>، محمدرضا علمی<sup>۳</sup>، حمیدرضا عظیمزاده<sup>۴</sup>

تاریخ پذیرش: ۱۳۹۴/۶/۴

تاریخ دریافت: ۱۳۹۴/۳/۷

### چکیده

با توجه به ارزش حفاظتی پارک ملی بمو، کاربری‌هایی در داخل و محدوده اطراف پارک وجود دارند که دارای اثرات و پیامدهای مستقیم و غیرمستقیم بر پارک است. ضرورت دارد تا با بررسی تغییرات این کاربری‌ها، برنامه مدیریتی مناسب بر منطقه ارائه شود. به منظور بررسی تغییرات کمی و کیفی رخداده در اکوسيستم پارک ملی بمو و حفاظت و مدیریت محیط زیستی این منطقه، تصاویر ماهواره‌ای Landsat مربوط به سه دوره زمانی ۱۳۶۶، ۱۳۸۸ و ۱۳۹۰ تهیه و مورد استفاده قرار گرفت. در همین راستا، بعد از اعمال تصحیحات هندسی و مکانی و اجرای بارزسازی تصاویر، با بهره‌گیری از روش طبقه‌بندی نظارت‌نشده و روش طبقه‌بندی نظارت‌شده، الگوریتم حداقل احتمال همانندی تغییرات کاربری‌ها مورد بررسی و مقایسه قرار گرفت. درستی نقشه‌های تولیدی با آزمون صحت کلی و آماره کاپا محاسبه شد. تغییرات پوشش گیاهی با شاخص پوشش گیاهی (NDVI) مورد بررسی قرار گرفت. با توجه به درصد پوشش گیاهی، نقشه‌های ایجادشده در سه کلاس درجه سرسیزی ضعیف، متوسط و خوب طبقه‌بندی شد. نتایج نشان داد که کاربری‌های انسان‌ساخت طی بازه زمانی ۱۹۸۷ تا ۲۰۱۱ رشد چشمگیری داشته است. همچنین نتایج نشان داد پوشش طبیعی منطقه افزایش و اراضی بایر منطقه کاهش یافته است.

**كلمات کلیدی:** کاربری‌های انسان‌ساخت، تغییر کاربری، تصاویر ماهواره‌ای، سنجدش از دور، پارک ملی بمو.

۱. دانش آموخته کارشناسی ارشد محیط زیست، دانشگاه یزد، دانشکده منابع طبیعی و کویر شناسی / Email: fatemeh.hoshmand7@gmail.com
۲. استادیار دانشکده منابع طبیعی و کویر شناسی، دانشگاه یزد
۳. استادیار دانشکده منابع طبیعی و کویر شناسی، دانشگاه یزد
۴. دانشیار دانشکده منابع طبیعی و کویر شناسی، دانشگاه یزد

## مقدمه

بهره برداری بهینه از عرصه منابع طبیعی همراه با حفاظت اصولی از منابع ژنتیکی گیاهی و جانوری و جلوگیری از فرسایش آنها در زمینه نیل به وضعیت مطلوب تنوع زیستی باید مدنظر قرار گیرد (مجنونیان، ۲۰۰۲). مناطق حفاظت شده طبیعی با مدیریت پایدار استفاده از زمین، قادر به تضمین تداوم ساختار و فرایندهای اساسی برای تأمین سرمایه‌های طبیعی است (پتروسیلو<sup>۵</sup> و همکاران، ۲۰۱۳). ورود انسان به مناطق حفاظت شده و فعالیت‌هایی چون کشت و زرع می‌تواند سبب جنگل‌زدایی و از بین رفتن پوشش طبیعی این مناطق و به خطر افتادن انسجام اکولوژی مناطق شود (فتو<sup>۶</sup> و همکاران، ۱۹۹۸). در این زمینه مطالعات متعددی صورت پذیرفته است، از جمله: یانگ<sup>۷</sup> و همکاران (۱۹۹۶) روند تغییرات پوشش زمین مناطق حفاظت شده کانادا را با تصاویر لندست طی سال‌های ۱۹۷۷ و ۱۹۸۷ و ۱۹۹۸ با طبقه‌بندی سلسله مراتبی بررسی نمودند. نتایج نشان داد که جنگل‌زدایی در اطراف حاشیه مناطق حفاظت شده بیشتر صورت می‌پذیرد و نرخ رشد سالانه تغییر پوشش زمین ۰.۸۲٪ در سال می‌باشد. ناگاندara<sup>۸</sup> و همکاران (۱۹۹۶) برای حفاظت و بررسی تغییرات پوشش زمین، حضور مردم در پارک تادوبا اندھاری<sup>۹</sup> هند از تصاویر ماهواره‌ای لندست ۱۹۸۹ و ۲۰۰۱ استفاده کردند. نتایج نشان داد که ۱۶٪ از پارک دچار جنگل‌زدایی شده‌اند و رشد چشمگیری در توسعه روستاهای اطراف و درون پارک مشاهده شد. بایارسائی‌خان<sup>۱۰</sup> و همکاران (۱۹۸۸) تغییرات و طبقه‌بندی پوشش زمین پارک ملی هوستایی<sup>۱۱</sup> در مغولستان را مورد بررسی قرار دادند. در این پژوهش انواع پوشش زمین و نواحی کانونی با گونه‌های نادر را طی سال‌های ۱۳۷۳ و ۱۳۷۹ با تصاویر TM و ETM ماهواره‌لندست، با روش حداقل احتمال طبقه‌بندی نمودند. نتایج نشان داد که کوهستان استپی و تپه‌های ماسه‌ای به میزان قابل توجهی افزایش یافته و مناطق کشاورزی کاهش و جنگل‌زدایی افزایش یافته است.

5. Petrosillo

6. Phue

8. Young

9. Nagendra

10. Tadoba Andhari

11. Bayarsaikhan

1. Hustai

تنوع زیستی یکی از مسائل اصلی و مهم محیط‌زیستی در جهان است. هدف اصلی حفاظت از محیط‌زیست برای اطمینان از تداوم تنوع زیستی است. که درواقع با حفاظت از مناطق حفاظت شده صورت می‌گیرد (وانگ<sup>۱</sup> و همکاران، ۲۰۱۳). مناطق حفاظت شده علاوه بر اینکه نقش مهمی در حفظ تنوع زیستی دارند، نیازهای اجتماعی را هم تأمین می‌کنند. که این امر می‌تواند اثراتی بر اکوسیستم‌های طبیعی بر جا گذارد (آونگ<sup>۲</sup> و همکاران، ۲۰۱۳). پس حفاظت و مدیریت اکوسیستم باید با درنظرگرفتن نیازهای جوامع محلی نیز صورت پذیرد. فشار فزاینده در مناطق حفاظت شده همچون بهره‌برداری برای منافع اقتصادی و تجاری نیاز به خط مشی قوی در تمام سطوح دارد که به حفاظت و مدیریت اکوسیستم بپردازد (جونز والتر و سیوینگ<sup>۳</sup>، ۲۰۱۳).

سنجدش از دور یک ابزار ارزشمند برای مدیریت و پایش مناطق حفاظت شده است. سنجدش از دور می‌تواند به تعیین اولویت برای اقدامات حفاظت، نظارت بر وضعیت اهداف حفاظت از محیط‌زیست، و ارزیابی اثربخشی استراتژی‌های حفاظت از محیط‌زیست کمک کند (وانگ و همکاران، ۲۰۱۳). این فناوری به کمک تصاویر ماهواره‌ای، منبع مهمی از داده‌های مربوط به کاربری و پوشش اراضی را فراهم می‌کند که می‌تواند در نظارت بر تغییرات آنها به گونه‌ای مؤثر مورد استفاده قرار گیرد. خصوصیاتی نظیر فراهم ساختن دید وسیع و یکپارچه از منطقه، تکرارپذیری، تسهیل جمع‌آوری اطلاعات و صرفه‌جویی در زمان از جمله ویژگی‌هایی است که استفاده از اطلاعات کسب شده به کمک فناوری سنجدش از دور را برای بررسی تغییرات پوشش گیاهی نسبت به سایر روش‌ها ارجحیت می‌بخشد (سرودی و جوزی، ۲۰۱۱).

حفاظت از اکوسیستم‌ها و زیستگاه‌های طبیعی و احیای جمعیت‌های گونه‌ها در محیط‌های طبیعی خود، گامی مهم جهت حفاظت از تنوع زیستی و ارتقای وضعیت کمی و کیفی آن است. از این‌رو در امر بهره‌برداری از محیط‌زیست، لزوم

1. Wang

2. Aung

3. Jones-Walters and Civic

پوشش می‌دهد. ملکی نجف‌آبادی و همکاران (۲۰۱۰) با بررسی تصاویر ماهواره‌ای پناهگاه حیات‌وحش موتله به این نتایج دست یافتند که بین سال‌های ۱۳۵۱ تا ۱۳۶۶ اراضی با این منطقه افزایش و بین سال‌های ۱۳۶۶ تا ۱۳۸۵ پوشش طبیعی منطقه افزایش یافته است و اراضی با این کاهش یافته است، همچنین بین سال‌های ۱۳۷۷ تا ۱۳۸۵ توسعه انسانی در منطقه حفاظت‌شده افزایش یافته است. با توجه به ارزش حفاظتی پارک ملی بمو، تغییرات کاربری‌های اراضی مورد بررسی قرار می‌گیرد تا میزان توسعه کاربری‌ها در پارک مشخص شود.

## مواد و روش‌ها

### منطقه مورد مطالعه

پارک ملی بمو در جنوب ایران، در استان فارس و در شمال شرقی شهر شیراز در حد فاصل طول جغرافیایی  $52^{\circ}29'$  تا  $52^{\circ}56'$  و عرض جغرافیایی  $29^{\circ}39'$  تا  $29^{\circ}50'$  قرار دارد (شکل ۱). پارک ملی بمو در سال ۱۳۴۱ با گستردگی در حدود ۱۰۰۰۰ هکتار به عنوان منطقه ممنوعه اعلام گردید که به تدریج از وسعت آن کاسته شد. وسعت آن به دلیل افزایش جمعیت و گسترش شهر شیراز به ۵۰ هزار هکتار کاهش یافت. در سال‌های قبل از انقلاب به دلیل مدیریت نادرست وسعت پارک روند نزولی طی کرد. در سال ۱۳۴۶ به منطقه حفاظت‌شده تغییر نام یافت و در سال ۱۳۴۹ به پارک وحش و سپس پارک ملی بمو نامگذاری گردید. وسعت پارک ملی بمو در حال حاضر ۴۶۹۱۳ هکتار است (سازمان حفاظت محیط زیست، ۲۰۰۲).

یالله و همکاران (۲۰۰۳) تغییرات کاربری اراضی شهر تهران را با استفاده از تصاویر ماهواره‌ای لندست، سنجنده TM در دو بازه زمانی، به فاصله یک دهه با آنالیز تشخیص تغییرات موردن مطالعه قرار دادند. براساس نتایج به دست آمده میزان رشد و توسعه شهری در طی این دهه بیش از ۸ درصد بوده است که پیش‌بینی می‌شود حداقل طی ۹۰ سال آینده مساحت منطقه شهری دو برابر گردد. برخورداری و همکاران (۲۰۰۵) در تحقیقی به منظور تهیه نقشه پوشش اراضی حوزه سد استقلال مبناب از تصاویر ماهواره‌ای لندست سال‌های ۱۹۷۶ و ۱۹۸۸ و ۲۰۰۲ استفاده کردند. پس از بررسی روش‌های مختلف تهیه نقشه پوشش اراضی از روی تصاویر ماهواره‌ای بهترین روش، استفاده از تلفیق دو روش شاخص گیاهی و روش طبقه‌بندی نظارت شده بوده است. همچنین نتایج مقایسه نقشه‌های کاربری اراضی حوزه از ۲۵ سال گذشته نشان می‌دهد که سطح اراضی مرتعی (مرتع خوب و متوسط) و بیشه‌زارهای جنگلی از ۴۵ درصد سطح حوزه در سال ۱۹۷۶ به ۸ درصد در سال ۲۰۰۲ کاهش یافته است.

علوی‌نژاد و همکاران (۲۰۰۴) تغییرات ژئومورفوژئیکی و کاربری‌های اراضی خورموسی را با استفاده از RS و GIS مورد بررسی قرار دادند. بدین منظور از تصاویر ماهواره‌ای سال‌های ۱۳۷۰، ۱۳۷۷ و ۱۳۸۲ میلادی و نقشه‌های توپوگرافی، خاک، زمین‌شناسی، نقشه کاربری اراضی و آمار هواشناسی و جزر و مد منطقه استفاده شد. نتایج نشان داد که بیشترین تغییرات در حاشیه ساحل، داخل شهر و مراکز صنعتی می‌باشد. محمودزاده و همکاران (۲۰۰۴) تغییرات کاربری اراضی شهر تبریز را با استفاده از تصاویر چندماهه‌ای سنجنده ETM<sup>+</sup> در سال‌های ۱۳۶۸ و ۱۳۸۰ بررسی نمودند. نتایج نشان داد که شهر تبریز در طی سال‌های اخیر، رشد نسبتاً سریعی داشته درنتیجه، تغییرات قابل ملاحظه‌ای در کاربری اراضی ایجاد شده است. سفیانیان و همکاران (۲۰۰۹) برای توصیف الگوهای چشم‌انداز و تفسیر آثار بوم‌شناسی آنان بر گیاهان، جانوران منطقه حفاظت‌شده موتله از تصاویر ماهواره‌ای سنجنده LISS ماهواره IRS استفاده نمودند. نتایج نشان داد طبقات تنوع متوسط و بالا بیشترین سطح منطقه مطالعه را

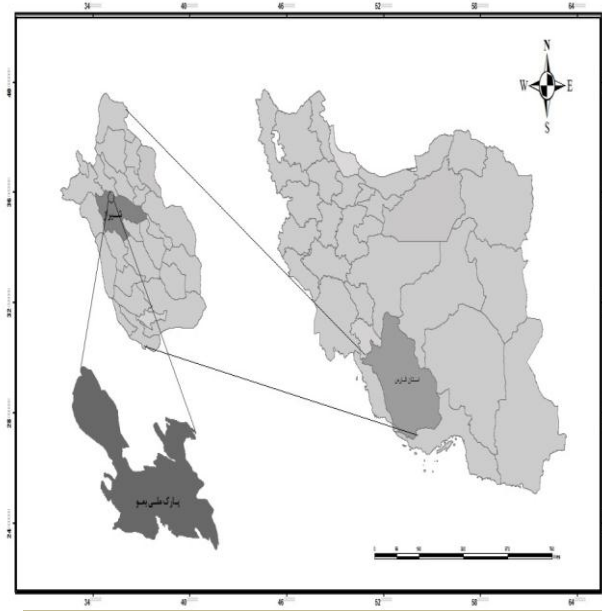
نقشه توپوگرافی ۱:۵۰۰۰۰ تصحیح هندسی صورت پذیرفت.  
بارزسازی تصاویر ماهواره‌ای<sup>۳</sup>

به مجموعه فعالیت‌ها جهت استخراج اطلاعات از تصاویر، بارزسازی گفته می‌شود. از روش‌های بارزسازی که در این تحقیق استفاده شد، تصاویر رنگی کاذب<sup>۴</sup> است. برای بررسی تغییرات پوشش گیاهی از ترکیب رنگی<sup>۵</sup> ۴-۳-۲ استفاده شد. برای بهبود کیفیت تصویر از تابع متعدد سازی نمودار<sup>۶</sup> استفاده و با استفاده از فیلتر، علائم ناخواسته<sup>۷</sup> موجود در تصاویر حذف شد.

### روش طبقه‌بندی تصاویر

مهم‌ترین مرحله یا بخش در کاربردهای سنجش از دور، استخراج اطلاعات مورد نظر از روی تصویر ماهواره‌ای انتخاب شده است. طبیعتاً برای هر کاربرد خاص روش‌های متفاوتی برای استخراج اطلاعات وجود دارد که در این پژوهش از طبقه‌بندی نظارت‌نشده<sup>۸</sup> و طبقه‌بندی نظارت‌شده<sup>۹</sup> و همچنین از تفسیر بصری<sup>۱۰</sup> به عنوان مکمل برای طبقه‌بندی تصاویر استفاده شد. در روش طبقه‌بندی نظارت‌نشده، خوشه<sup>۱۱</sup>‌های حاصل براساس تشابه طیفی پیکسل‌ها ایجاد می‌شود.

این روش تصاویر را در ۱۵ طبقه براساس تشابه طیفی تفکیک کرد. به منظور کاهش اطلاعات اضافی و با درنظر گرفتن ماهیت کلاس‌های طیفی برخی از آن‌ها در هم ادغام شدند. در روش طبقه‌بندی نظارت‌نشده از مناطق آموزشی به عنوان مبنای طبقه‌بندی استفاده می‌شود. در روش طبقه‌بندی نظارت‌شده از الگوریتم طبقه‌بندی حداقل احتمال<sup>۱۲</sup> استفاده شد. این روش مبتنی بر احتمال<sup>۱۳</sup> است (علوی‌پناه، ۲۰۱۱).



شکل (۱): موقعیت منطقه مورد مطالعه

### روش انجام کار

برای بررسی تغییرات پوشش گیاهی و تغییرات کاربری‌های انسان‌ساخت در منطقه مورد مطالعه ابتدا لازم بود تا کاربری‌های مختلف سال‌های گوناگون با استفاده از تصاویر ماهواره‌ای<sup>۱</sup> به دست آید (شکل ۲، ۳ و ۴). از تصاویر ماهواره‌ای لندهست<sup>۴</sup> و<sup>۵</sup>، سنجنده TM طی سال‌های ۱۳۶۶، ۹.۳ ERDAS IMAGIN 9.1 و ۱۳۸۸ و نرم‌افزارهای ArcGis 6.1 و Googleearth استفاده شد (جدول ۱). ابتدا تصاویر مورد تصحیح قرار گرفت و سپس با روش طبقه‌بندی نظارت‌نشده و نظارت‌شده تصاویر طبقه‌بندی شدند. تعیین صحت تصاویر طبقه‌بندی شده با استفاده از شاخص کاپا و صحت کلی صورت پذیرفت. تغییرات پوشش گیاهی به‌طور جداگانه با شاخص NDVI مورد بررسی قرار گرفت.

### تصحیح تصاویر ماهواره‌ای

داده‌های حاصل از سامانه‌های سنجش از دور اعم از عکس‌های هوایی و تصاویر حاصل از اسکنرها دارای خطاهای گوناگونی می‌باشند و اصولاً قبل از اینکه مورد تفسیر و تجزیه تحلیل قرار گیرند، باید تصحیح گردند (فضل دهکردی، ۲۰۰۵). بنابراین برای استفاده از این تصاویر اولیه باید پیش پردازش صورت پذیرد. با استفاده از نقاط کنترل زمینی<sup>۲</sup> و

- 3. Images enhancement
- 4. False color composite image
- 5. Red, Green, Blue
- 6. Histogram equalization
- 7. Noise
- 8. Unsupervised classification
- 9. Supervised classification
- 10. Visual interpretation
- 11. Cluster
- 12. Maximum Likelihood
- 13. Probability

- 1. Satellite images
- 2. Ground control point

جدول (۱): مشخصات سنجنده TM (علوی پناه، ۱۳۸۹)

تاریخ تصویر	سنجنده	شماره باند	دامنه طیفی باند	نام دامنه طیفی	قدرت تفکیک	ابعاد پوشش (کیلومتر)
۱۳۶۶/۱/۱۲	TM	۱	۵۲/۰-۴۵/۰	آبی	۳۰	۱۸۵×۱۸۵
۱۳۸۸/۱/۳		۲	۶۰/۰-۵۲/۰	سبز	۳۰	
۱۳۹۰/۱/۸		۳	۵۹/۰-۶۳/۰	قرمز	۳۰	
		۴	۹۰/۰-۷۶/۰	مادون قرمز نزدیک	۳۰	
		۵	۷۵/۱-۵۵/۱	مادون قرمز میانی	۳۰	
		۶	۵۰/۱۲-۰۴/۱۰	مادون قرمز حرارتی	۱۲۰	
		۷	۳۵/۲-۰۸/۲	مادون قرمز میانی	۳۰	

گردید.

### شاخص نرمالیز شده پوشش گیاهی<sup>۵</sup>

شاخص نرمالیز شده پوشش گیاهی به عنوان پر کاربرد ترین شاخص ها در مطالعات بی شماری برای ارزیابی پوشش گیاهی استفاده شده است. مبنای ساختاری این شاخص وجود کلروفیل در گیاهان مختلف است که نور قرمز را جذب و لایه مزو فیل برگ نور مادون قرمز نزدیک را منعکس می سازد. مقدار عددی این شاخص براساس تعریف آن بین اعداد +۱ تا -۱ تغییر می کند. مقادیر منفی در این شاخص حاکی از عدم حضور پوشش گیاهی است (قائمی و همکاران، ۲۰۱۰).

شاخص نرمالیز شده پوشش گیاهی تصاویر برای هر سه دوره زمانی تهیه شد. این نمایه به صورت رابطه (۱) بیان می شود:

$$\text{NDVI} = (\text{NIR} - \text{RED}) / (\text{NIR} + \text{RED}) \quad (1)$$

که در آن NIR بازتابش باند مادون قرمز (باند ۳ سنجنده TM) و RED بازتابش باند قرمز (باند ۴ سنجنده TM) است که توسط سنجنده ثبت می شود. برای تحلیل زمان تصور برداری و عوامل اقلیمی، آمار بارندگی ماهانه هر سه سال در محیط اکسل<sup>۶</sup> رسم شد. در محیط سامانه اطلاعات جغرافیایی نقشه ها به فرمت برداری<sup>۷</sup> تبدیل شد و درصد پوشش گیاهی محاسبه شد. با نرم افزار اکسل صحت نقشه های تولید شده با روابط رگرسیونی سنجیده شد و در

### ارزیابی صحت<sup>۸</sup>

برآورد دقت برای درک نتایج به دست آمده و به کاربردن این نتایج برای تصمیم گیری حائز اهمیت است. معمول ترین عوامل برآورد دقت شامل دقت کلی، دقت تولید کننده، دقت کاربر و شاخص کاپا<sup>۹</sup> هستند (آرخی و نیازی، ۲۰۱۱).

صحت کلی برابر است با نسبت پیکسل هایی که درست طبقه بندی شده اند به تعداد کل پیکسل های مورد مقایسه. به این ترتیب صحت کلی میزان توافق و همخوانی تصویر حاصل از طبقه بندی با واقعیت زمینی را نشان می دهد. صحت کلی از مفهوم بسیار ساده ای برخوردار است و برای بیان صحت یک طبقه بندی مناسب می باشد.

در محاسبه ضریب کاپا علاوه بر پیکسل هایی که درست طبقه بندی شده، پیکسل هایی که نادرست طبقه بندی شده اند نیز دخالت داده می شوند، از این رو معیار مناسبی برای مقایسه نتایج طبقه بندی های مختلف می باشند (اندرسون<sup>۱۰</sup> و همکاران، ۱۹۹۳). به منظور برآورد صحت کلی و ضریب کاپا با استفاده از سامانه موقعیت یاب جهانی<sup>۱۱</sup> نقاطی از خاک، گیاه، ساختمان و جاده های منطقه مورد مطالعه برداشت شد. پس از ارزیابی صحت نقشه های تهیه شده در محیط سامانه اطلاعات جغرافیایی (ArcGIS 9.3) به فرمت برداری (نقشه وکتوری) تبدیل شد. سپس مساحت تغییرات کاربری و پوشش گیاهی بین سال های ۱۳۶۶، ۱۳۸۸ و ۱۳۹۰ مقایسه

1. Accuracy assessment

2. Kapa Index

3. Anderson

4. Global Positioning System (GPS)

5. NDVI (Normalized Difference Vegetation Index).

6. Excel

7. Vector

انسان ساخت در منطقه مورد مطالعه، ابتدا لازم بود تا کاربری‌های مختلف سال‌های گوناگون با استفاده از تصاویر ماهواره‌ای به دست آید. بنابراین کل کاربری‌های ناحیه مورد مطالعه پس از تصحیحات هندسی و رادیومتریک با طبقه‌بندی نظارت نشده و طبقه‌بندی نظارت شده در چهار طبقه شامل پوشش گیاهی، اراضی باир، کاربری انسان‌ساخت و پوشش طبیعی منطقه مورد بررسی قرار گرفت (شکل ۵، ۶، ۷، ۸ و ۱۰). مساحت این طبقات برای هر سال تعیین و مقایسه شده است (جدول‌های ۳ و ۴). برای بررسی دقت طبقه‌بندی از روش ارزیابی صحت و شاخص کاپا استفاده شد (جدول ۲). مطابق جدول (۲) صحت کلی در سال ۱۳۶۶، ۱۳۸۸ و ۱۳۹۰ به ترتیب برابر ۸۰٪/۳۳٪ و ۹۳٪/۳۳٪ و شاخص کاپا برابر ۷۲٪/۶۸٪ و ۸۸٪ به دست آمد. از نظر مجموع صحت و آماره کاپا از دقت خوبی در ارتباط با اطلاعات تولیدشده برخوردار بوده است.

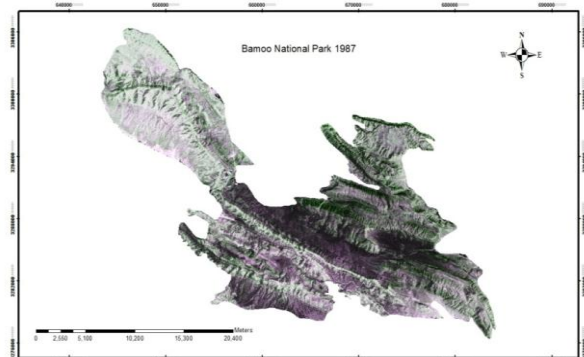
کاربری‌های انسان‌ساخت در منطقه مطابق با روش طبقه‌بندی نظارت نشده در سال ۱۳۶۶ برابر صفر، سال ۱۳۸۸ برابر ۲۳۳۲/۲۸ هکتار و در سال ۱۳۹۰ برابر ۴۰۵۷/۷۲ هکتار به دست آمد. اراضی بایر منطقه در سال ۱۳۶۶ برابر ۲۲۸۹۵/۹۶ هکتار، در سال ۱۳۸۸ برابر ۲۳۶۶۰/۴۷ هکتار و در سال ۱۳۹۰ برابر ۱۸۴۹۲/۳ هکتار به دست آمد. پوشش طبیعی منطقه در سال ۱۳۶۶ برابر ۲۴۰۰۱/۷۴ هکتار، در سال ۱۳۸۸ برابر ۱۸۶۲۸/۴۳ هکتار و در سال ۱۳۹۰ برابر ۲۲۰۷۱/۲۶ هکتار به دست آمد. وسعت راه‌آهن منطقه در سال ۱۳۶۶ برابر صفر، در سال ۱۳۸۸ برابر ۱۸/۴ هکتار و در سال ۱۳۹۰ برابر ۱۸/۴ هکتار و همچنین وسعت جاده‌ها در سال ۱۳۶۶ برابر ۱۵/۳ هکتار، در سال ۱۳۸۸ برابر ۲۲۷۲/۸ هکتار و در سال ۱۳۹۰ برابر ۲۲۷۲/۸ هکتار به دست آمد (جدول ۳).

جدول (۲): ارزیابی صحت و شاخص کاپا

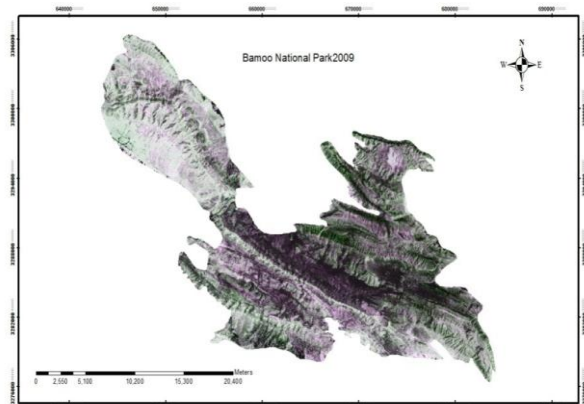
تصویر	۱۳۶۶	۱۳۸۸	۱۳۹۰
شاخص کاپا	۷۲٪	۶۸٪	۸۸٪
ارزیابی صحت	٪۳۳/۳۳	٪۹۳/۹۳	٪۳۳/۹۳

<K>/۴۰<k>/۷۰<K>/۷۰ خوب، <k>/۴۰<K>/۷۰ ضعیف

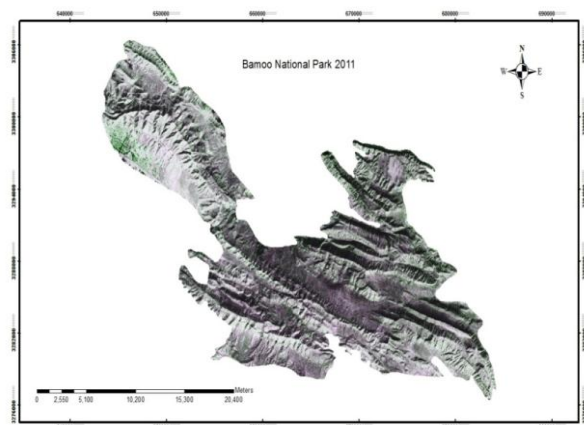
نهایت، مساحت تغییرات پوشش گیاهی بین سال‌های ۱۳۶۶ و ۱۳۸۸ و ۱۳۹۰ مقایسه گردید.



شکل (۲): تصویر ماهواره‌ای پارک ملی بمو در سال ۱۳۶۶ با ترکیب رنگی ۴،۳،۲



شکل (۳): تصویر ماهواره‌ای پارک ملی بمو در سال ۱۳۸۸ با ترکیب رنگی ۴،۳،۲



شکل (۴): تصویر ماهواره‌ای پارک ملی بمو در سال ۱۳۹۰ با ترکیب رنگی ۴،۳،۲

## نتایج

برای بررسی تغییرات پوشش گیاهی و تغییرات کاربری‌های

وضعیت پوشش گیاهی مطابق با جدول (۳)، به سه کلاس طبقه‌بندی شد (شکل ۱۲، ۱۳ و ۱۴). وسعت تغییرات پوشش گیاهی طی سه دوره محاسبه و مقایسه شد (جدول ۶).

جدول (۶): وسعت تغییرات پوشش گیاهی طی سه دوره زمانی					
سال ۱۳۹۰	سال ۱۳۸۸	سال ۱۳۶۶	سال ۱۳۹۰	سال ۱۳۸۸	سال ۱۳۶۶
وضعیت پوشش گیاهی وسعت (هکتار)	وضعیت وسعت	وضعیت گیاهی (هکتار)	وضعیت پوشش گیاهی وسعت (هکتار)	وضعیت وسعت	وضعیت گیاهی (هکتار)
۱۷۴/۶۵	۱۳۷/۱۴	۱۶۶/۷۲	پوشش گیاهی با درجه سرسبزی خوب	۱۸/۹	۲۲۷۲/۸۲
۳۷۰/۷۷/۴۳	۲۲۲۰/۴/۹۲	۱۷۳۳۲/۰/۸	پوشش گیاهی با درجه سرسبزی متوسط	۴۰۵/۷۲	۲۳۳۲/۳۸
۹۶۰/۹/۱	۲۳۵۵۶/۲۴	۲۹۴۰/۲۰/۵	پوشش گیاهی با درجه سرسبزی ضعیف	۱۸۴۹۲/۳	۲۳۶۶۰/۴۷
				۲۲۰/۷۱/۲۶	۲۲۸۹۵/۹۶
				۱۸۶۲۸/۴۳	۲۴۰۰۱/۷۴
					پوشش طبیعی منطقه

وسعت کاربری‌های انسان‌ساخت براساس طبقه‌بندی نظارت‌شده در سال ۱۳۶۶ برابر صفر، در سال ۱۳۸۸، برابر ۲۲۶۶/۴۵ هکتار و در سال ۱۳۹۰ برابر ۵۰۳۵/۰۵ هکتار به دست آمد. اراضی بایر منطقه در سال ۱۳۶۶ برابر ۲۳۲۱۲/۵ هکتار، در سال ۱۳۸۸ ۲۲۸۷۳/۷۳ هکتار و در سال ۱۳۹۰ برابر ۱۶۵۴۰ هکتار به دست آمد. پوشش طبیعی منطقه در سال ۱۳۶۶ برابر ۲۳۶۸۵/۲ هکتار، در سال ۱۳۸۸ ۱۹۴۸۲/۰۲ هکتار و در سال ۱۳۹۰ برابر ۲۲۰۴۸/۲۳ هکتار به دست آمد. وسعت جاده‌ها در سال ۱۳۶۶ برابر ۱۵/۳ هکتار، سال ۱۳۸۸ برابر ۲۲۷۲/۸ هکتار و در سال ۱۳۹۰ برابر ۲۲۷۲/۸ هکتار و سمعت راه‌آهن در سال ۱۳۶۶ برابر صفر، سال ۱۳۸۸ برابر ۱۸/۴ هکتار و در سال ۱۳۹۰ برابر ۱۸/۴ هکتار به دست آمد (جدول ۷).

جدول (۷): کلاس‌های مختلف کاربری در سه دوره زمانی با

## طبقه‌بندی نظارت‌شده

سال	۱۳۹۰	۱۳۸۸	۱۳۶۶	نام کاربری‌ها
مساحت(هکتار)	۲۲۷۲/۸	۲۲۷۲/۸	۱۵/۳	جاده
۱۸/۴	۱۸/۴	۰	راه‌آهن	
۶۰۳۵/۰۵	۲۲۶۶/۴۵	۰	کاربری انسان‌ساخت	
۱۶۵۴۰	۲۲۸۷۳/۷۳	۲۳۲۱۲/۵	حکاک و اراضی بایر	
۲۲۰۴۸/۲۳	۱۹۴۸۲/۰۲	۲۳۶۸۵/۲	پوشش طبیعی منطقه	

جدول (۳): کلاس‌های مختلف کاربری در سه دوره زمانی با

## طبقه‌بندی نظارت‌شده

سال	۱۳۹۰	۱۳۸۸	۱۳۶۶	نام کاربری‌ها
۲۲۷۲/۸۲	۲۲۷۲/۸۲	۱۵/۳	جاده	
۱۸/۹	۱۸/۲	۰	راه‌آهن	
۴۰۵/۷۲	۲۳۳۲/۳۸	۰	کاربری انسان‌ساخت	
۱۸۴۹۲/۳	۲۳۶۶۰/۴۷	۲۲۸۹۵/۹۶	حکاک	
۲۲۰/۷۱/۲۶	۱۸۶۲۸/۴۳	۲۴۰۰۱/۷۴	پوشش طبیعی منطقه	

برای بررسی تغییرات پوشش گیاهی منطقه، از شاخص نرمالیزشده پوشش گیاهی استفاده گردید. این شاخص به‌طور گسترده و مبتنی بر ارزش‌های طیفی در شناسایی شرایط رشد پوشش گیاهی به کار گرفته شده است. در این روش نسبت گیری، دامنه -۱ تا +۱ می‌باشد. مقدار عددی زیاد تغییرات مقادیر زیاد نرمالیز شده پوشش گیاهی نشان‌دهنده پوشش گیاهی سالم بوده و مقدار عددی کم دلالت بر پوشش گیاهی ناسالم یا تحت استرس همانند شرایط اراضی بدون پوشش گیاهی دارد. دامنه مقدار نرمالیزشده پوشش گیاهی هر تصویر برای سه بازه زمانی در جدول (۴) ارائه شد.

جدول (۴): دامنه مقدار NDVI طی سال‌های ۱۳۶۶، ۱۳۸۸ و ۱۳۹۰

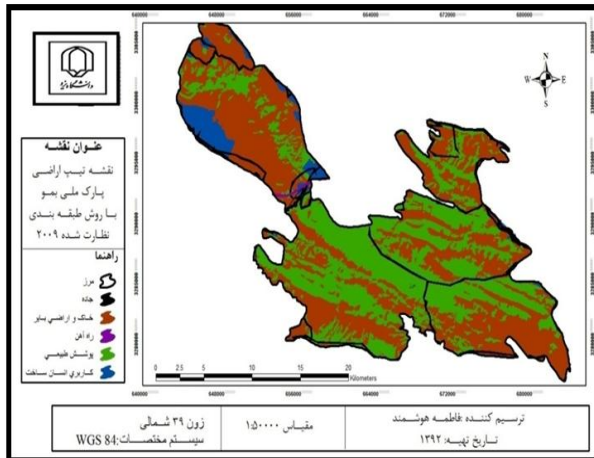
نرمالیزشده پوشش گیاهی NDVI	۱۳۹۰	۱۳۸۸	۱۳۶۶	مقدار شاخص
-۰/۶۷ - تا +۰/۶۷	+۰/۱۱ - تا +۰/۶۷	+۰/۱۸ - تا +۰/۶۷	+۰/۶۶ - تا +۰/۶۷	نرمالیزشده پوشش گیاهی NDVI

درصد پوشش گیاهی در محیط نرمافزار سامانه اطلاعات جغرافیایی تعیین و نقشه‌های پوشش گیاهی پس از برقراری رابطه رگرسیونی بین مقادیر دامنه نرمالیز شده پوشش گیاهی و پیکسل‌های تصاویر تهیه شد (جدول ۵).

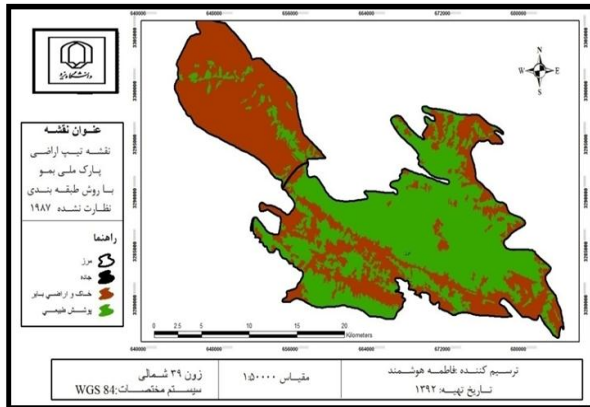
جدول (۵): رابطه رگرسیونی بین مقادیر دامنه نرمالیزشده پوشش

## گیاهی و پیکسل‌های تصاویر ۱۳۶۶، ۱۳۸۸ و ۱۳۹۰

تصاویر	R <sup>2</sup>	معادله رگرسیونی	DAMNE
	۶۴۸/۰	۵۰/۳۱ X + ۶۳/۵۴ X <sup>2</sup> + ۲۶/۱۹ Y =	۱۳۶۶
	۵۹۲/۰	۶۱/۱۹ X + ۵۷/۵۴ X <sup>2</sup> + ۸۱/۳۰ Y =	۱۳۸۸
	۶۴۰/۰	۶۸/۲۲ X + ۷۷/۶۰ X <sup>2</sup> + ۱۱/۳۰ Y =	۱۳۹۰

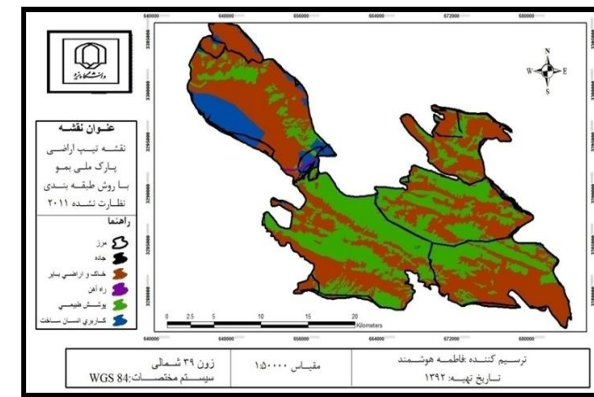


شكل (۷): کاربری اراضی منطقه مورد مطالعه با روش طبقه‌بندی  
ناظارت شده سال ۱۳۸۸

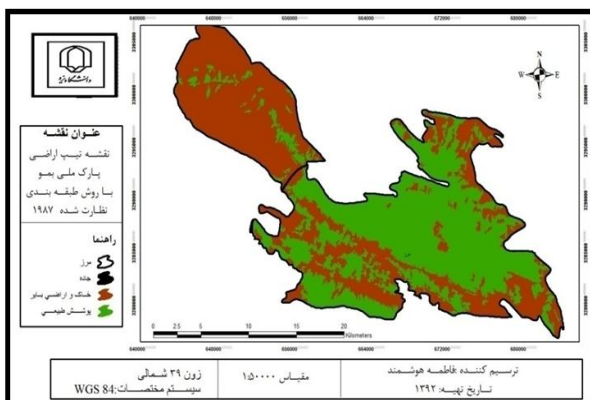


شكل (۵): کاربری اراضی منطقه مورد مطالعه با روش طبقه‌بندی

ناظارت شده سال ۱۳۶۶

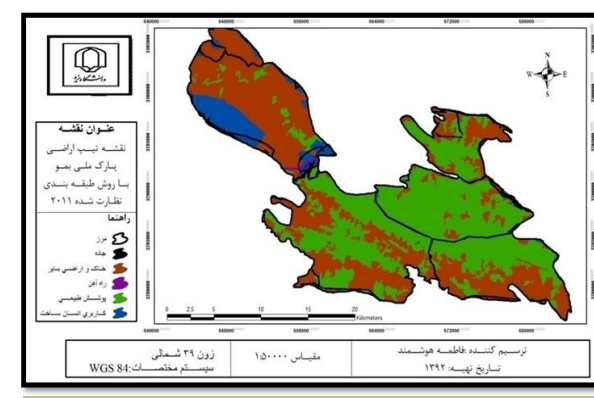


شكل (۸): کاربری اراضی منطقه مورد مطالعه با روش طبقه‌بندی  
ناظارت نشده سال ۱۳۹۰

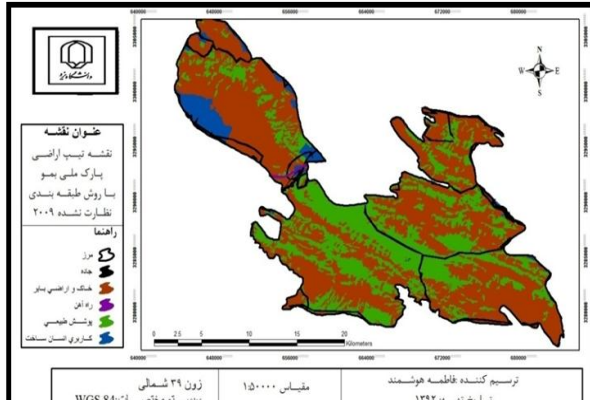


شكل (۶): کاربری اراضی منطقه مورد مطالعه با روش طبقه‌بندی

ناظارت شده سال ۱۳۶۶

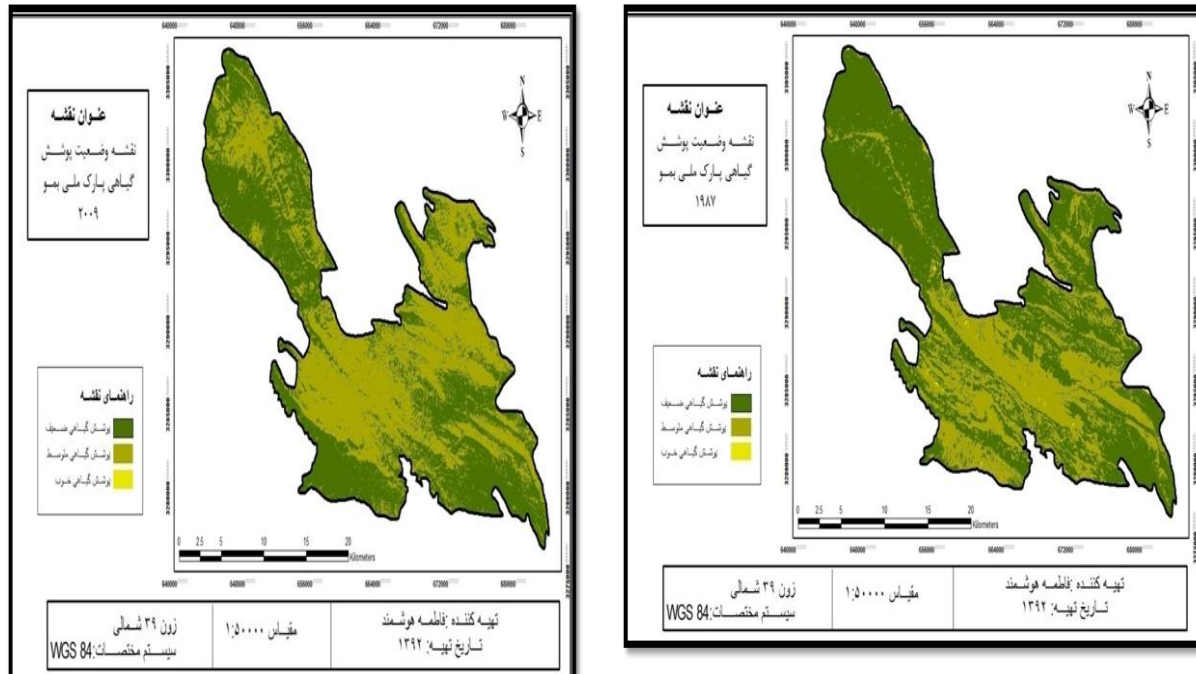


شكل (۱۰): کاربری اراضی منطقه مورد مطالعه با روش طبقه‌بندی  
ناظارت شده سال ۱۳۹۰



شكل (۹): کاربری اراضی منطقه مورد مطالعه با روش طبقه‌بندی

ناظارت شده سال ۱۳۸۸

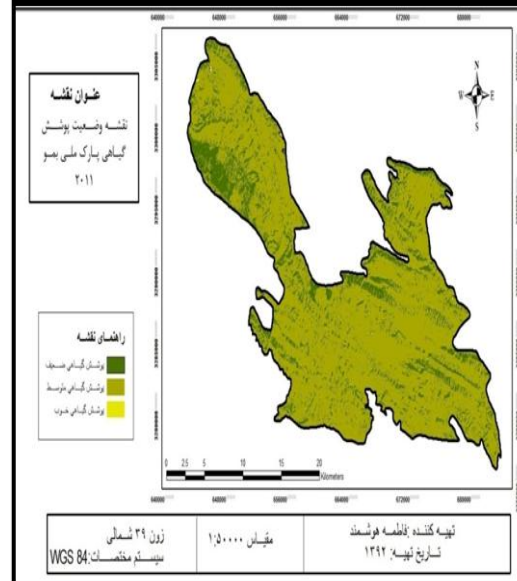


شکل (۱۲): پوشش گیاهی منطقه مورد مطالعه در سال ۱۹۸۷

شکل (۱۱): پوشش گیاهی منطقه مورد مطالعه در سال ۲۰۰۹

نابودی حیات وحش، بهره‌برداری بی‌رویه منابع حیات‌زا اعم از خاک، آب‌وهوای آب‌های سطحی و زیرزمینی، آلودگی صوتی، آلودگی آب، خاک و هوا شود. ضرورت دارد تا با بررسی آثار و پیامدهای این کاربری‌ها، برنامه مدیریتی مناسب و پایش و راهکارهای کاهش اثرات برمنطقه ارائه شود و از بروز اثرات نامطلوب جبران ناپذیر بر محیط‌زیست و منابع طبیعی جلوگیری نماید.

نتایج به دست آمده از طبقه‌بندی کاربری‌ها با استفاده از تصاویر ماهواره‌ای نشان می‌دهد که دقیق نتایج طبقه‌بندی نظارت نشده با توجه به تفسیر بصیری و طبقه‌بندی نظارت شده، پایین است و به تنها یی برای آنالیز تصاویر کافی نیست. باید این مسئله را در هنگام استفاده از سنجش از دور برای اندازه‌گیری تغییرات مدنظر قرار داد که اثرات اتمسفری، فصل و کالیبراسیون سنجنده ممکن است سبب بروز اختلاف‌هایی بین تصویرها شود که فراتر از هر گونه تغییرات واقعی رخ داده باشد، اما هیچ روش سنجش از دوری وجود ندارد که برای انجام همه فعالیت‌های پایش اکولوژیکی نسبت به بقیه برتری داشته باشد (نامجویان، ۲۰۰۹).



شکل (۱۳): پوشش گیاهی منطقه مورد مطالعه در سال ۲۰۱۱

### بحث و نتیجه‌گیری

با توجه به ارزش حفاظتی پارک ملی بمو، کاربری‌هایی همانند جاده و راه‌آهن در مرکز پارک، توسعه مناطق مسکونی در ضلع شمال غربی، پالایشگاه در ضلع شرقی و زمین‌های کشاورزی در که دارای اثرات و پیامدهای مستقیم و غیرمستقیم بر پارک ملی بمو می‌باشد و می‌تواند سبب تخریب پوشش گیاهی،

پوشش گیاهی در این بازه ۲۲ ساله را می‌توان تغییرات کاربری اراضی و افزایش کاربری‌های انسان‌ساخت در منطقه دانست که با نتایج پژوهش آرخی و همکاران (۲۰۱۰) و برخورداری و همکاران (۲۰۱۰) مبنی بر کاهش پوشش گیاهی مطابقت دارد. در مجموع وضعیت پوشش گیاهی از سال ۱۹۸۷ تا ۲۰۱۱ بهبود یافته، اما از وسعت پوشش گیاهی منطقه کاسته شده است.

بنابراین پیشنهاد می‌شود که برای جلوگیری از تقطیع زیستگاه در اثر جاده و بزرگراه، زیرگذرا و روگذر و سوراخ‌های ارتباطی در داخل دیوارهای بتُنی برای عبور حیوانات از زیر جاده و اقدامات حصارکشی و فنسکشی برای حفاظت از زیر جاده و اقدامات حصارکشی و فنسکشی برای جلوگیری از ورود حیوانات به داخل جاده‌ها انجام گیرد. ایجاد واحد مدیریت محیط‌زیستی شهرک به منظور حفاظت از محدوده پارک و اجرای قوانین محیط‌زیستی، ایجاد پست‌ها و پاسگاه‌ها در ضلع شمالی به منظور جلوگیری از ورود غیرمجاز افراد به مناطق حساس ضروری است. همچنین ایجاد کمرندهای سبز اطراف کاربری‌های انسان‌ساخت به خصوص اطراف پالایشگاه و شهرک صدرا پیشنهاد می‌شود. اگرچه برخی کاربری‌های انسان‌ساخت سبب توسعه اجتماعی و اقتصادی می‌شود، ضروری است که با به کارگیری راهکارهای مؤثر اثرات سوء را بر اکوسیستم طبیعی کاهش داد. باید به طور مداوم پوشش گیاهی اکوسیستم طبیعی منطقه را مورد پایش و نظارت قرار داد.

مقایسه تصاویر ماهواره‌ای در سه مقطع زمانی ۱۳۶۶، ۱۳۸۸ و ۱۳۹۰، حاکی از این است که طی این دوره ساله پوشش طبیعی منطقه افزایش و اراضی با مرز منطقه کاهش یافته است. این نتایج با مطالعات ملکی نجف‌آبادی و همکاران (۲۰۱۱) مبنی بر افزایش پوشش طبیعی و کاهش اراضی با مرز منطقه پناهگاه حیات وحش موتله و بایارسایی خان (۲۰۰۹) در بررسی تغییرات پوشش اراضی پارک ملی هاستایی نشان داد که پوشش طبیعی منطقه طی ۱۳۷۹ تا ۱۳۷۳ افزایش و اراضی با مرز کاهش یافته است، همخوانی دارد.

توسعه کاربری‌های انسان‌ساخت در پارک طی این دوره ۲۴ ساله سیر صعودی داشته است. مطالعات ملکی نجف‌آبادی (۲۰۱۱) در پناهگاه حفاظت‌شده موتله نیز بر توسعه فعالیت‌های انسانی طی سالیان گذشته اشاره دارد. بیشترین مورد تأثیرگذار این کاربری‌ها بزرگراه شیراز-اصفهان می‌باشد که محدوده پارک را به دو قسمت شرقی و غربی تقسیم نموده است و می‌تواند سبب تکه‌تکه شدن زیستگاه و تفرقه زیستگاهی شود. نتایج مقایسه تصاویر ماهواره‌ای بیانگر افزایش راه‌های دسترسی در منطقه است. در سال ۱۳۸۸ و ۱۳۹۰ جاده و راه‌آهن توسعه زیادی پیدا کرده است. نتایج نشان داد که دامنه مقادیر (NDVI) از سال ۱۹۸۷ تا ۲۰۱۱ افزایش یافته که نشان‌دهنده افزایش پوشش گیاهی منطقه است. با توجه به اینکه تصاویر ماهواره‌ای سال ۱۹۸۷ و ۲۰۰۹ هر دو در خرداد ماه و در فصل اوج رشد گیاهان تهیه شده است، عوامل کاهش

## منابع

1. Alavi Panah, K., 2011, Application of Remote Sensing in the Earth Sciences (Soil Science), Third Edition, Publication of Tehran university, 478.
2. Alavi Nezhad, S.N., Ghanavati, E., Ziyaian Firozabadi, P., 2005, Geomorphological and land use change detection using RS and GIS Moses Creek, masters' thesis, Tehran university.
3. Anderson G.L., Hanson, G.D., 1993. *evaluating Landsat Thematic Mapper Drived Vegetation Indeces for Estimating above* Ground Biomass on Semi – arid Rangelands, J. Remote sensing Environment Journal 45:165-175.
4. Arkhi, S., Y., Niazi, 2011, Evaluation of remote sensing techniques for monitoring land use change (case study areas in the valley – Ilam, Iranian Journal of Range and Desert Research17 (1), 74-93.
5. Aung, M. Swe, Kh. Oo, T. Moe, K. Leimgruber, P. Allendorf, T. Duncan, C. Wemmer, C. 2004, The environmental history of Chatthin Wildlife Sanctuary, a protected

- area in Myanmar (Burma), Journal of Environmental Management 72: 205-216.
6. Barkhordari, J. Zarei Mahjerdi, M. Khosroshahi, M. 1384. Evaluation of changes in land cover in the watershed dam independence Minab using RS and GIS. Journal of Soil and Water Conservation extension. Soil Conservation and Watershed Management Research, 1 (2): 191-199.
  7. Bayarsaikhan, U., Blodgiv, B., Kim, K., Park, k., Lee, D., 2009. *Chang detection and classification of land cover at Hustai National Park in Mongolia*, International journal of Applied Earth Observation and Geoinformation 11: 273-280.
  8. Fazel Dehkordi, L., 2006, How to land data assimilation using GPS satellite data to assess grassland, masters' thesis, Tehran university.
  9. Ghaemi, M. Sanainejad, S.H. Asterai, A. Mirhoseini, P. 2010, Investigation and compare of indexs vegetation with remote sensing ETM<sup>+</sup> for stady Nyshaboor Dasht, Journal of reachers agriculture Iran (8) 1: 128-137.
  10. Jones-Walters, L., and K., Civic, 2013, European protected areas: past, present and future, Journal for Nature Conservation 21: 122-142.
  11. Majnonian, H., 2002, National Parks and Protected Areas (functional values, Publication of the Environment.
  12. Mahmoodzadeh, H., Hoseinzadeh, k., Rasoli, A.A., Azizi, H., 2005, Application of multi-temporal satellite imagery data in a GIS environment to evaluate land use changes in Tabriz, Masters' thesis, Tabriz university, pp 3-5.
  13. Maleki Najafabadi, S., Sefyanian, A., Rahdari, V., 2011, Evaluation of landscape ecology in Mouteh Wildlife using geographic information systems (GIS), Journal of the natural environment (4), 373-387.
  14. Management Plan Bamu National Park (planning) (Volume I)Environmental Organization, 2002
  15. Nagendra, H., Pareeth, S., Ghate, R., 2006. *People within parks-forest villages, land-cover change and landscape fragmentation in the tadoba Andhari Tiger Reserve, India*. Applied Geography 26: 96-112.
  16. Namjoyan, R., 2010, Project location rangelands by using GIS and RS, masters' thesis, Tehran university, pp 6-12.
  17. Petrosillo, I., Semeraro, T., Zaccarelli, N., Aretano, R., Zurlini, G., 2013. *The possible combind effects of land-use chengs and climate conditions on the spatial-temporal patterns of primary production in a natural protected area*, Ecological Indicators 24: 367-375.
  18. Phua, M., Tsukukib, S., Furuyac, N., Lee, J., 2008. *Detecting deforestation with a spectral change detection approach using multitemporal Landsat data: Acase study of Kinabalu Park, Sabah, Malasia*, Journal of Environmental Management 88: 784-795.
  19. Sefyanian, A., Maleki Najafabadi, S., Rahdari, V., 2009, Quantitative indices of landscape pattern by using RS and GIS in conservation area Muteh, Journal of Soil and Water Sciences (49), 141-150.
  20. Sorodi, M. Joozi, S.A. 2011, Prediction of changes vegatetions with Markof model, Journal of Applications Remote sensing and GIS in nutural reservs 2(2): 83-95.
  21. USGS Website 2013 at: <http://glovis.usgs.gov/>
  22. Wang, D., Gong, J., Chen, L Zhang, L., Song, Y., Yue, Y., 2013. *Comparative analysis of land use/cover change trajectories and their driving forces in two small watersheds in the western Loess Plateau of china*, international Journal of Applied Earth Observation and Geoinformation 21: 241-252.
  23. Ya Alla, S.M., Serajian, M., Delavar, M., 2004. Tehran urban land use change detection using satellite imagery, masters' thesis, Tehran university, pp 8-10
  24. Young, J.E., Sanchez-Azofeifa, G.A., Hannon, S., Chapman, R., 2006. *Trends in land cover change and isolation of protected areas at the interface of the southern boreal mixedwood*

- and aspen parkland in Alberta, Canada, Forest Ecology and Management 230: 151-161.
- of Natural Resources, Publication of Tehran university, Fourth Edition.
25. Zobeiri, M., A., Majd, 2004, Introduction to Remote Sensing Technology and Application